

22.6.02

19-

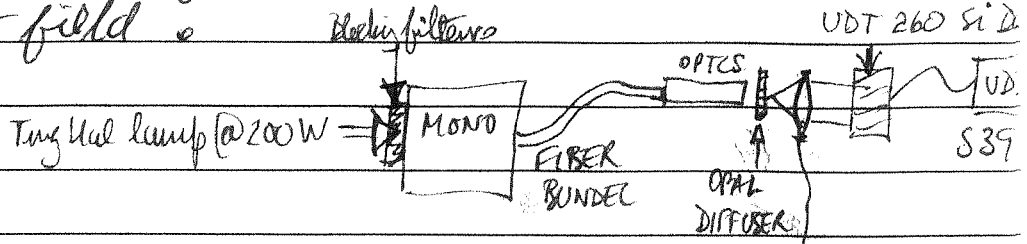
AMIC camera, average in  
200x200 pixel area

0.8 mm/mm	②	3.5 mm	slit	10 sec int
730	272	272	272	489
$\lambda$	750	847	915	no. filte
400	210	210	210	213
450	216	217	217	218
500	217	217	217	228
550	223	223	223	265
600	229	229	229	310
650	233	233	233	338
700	241	241	241	465
720	245	245	245	466
740	264	248	248	466
750	473	258	258	486
760	331	255	255	493
→ 745	327	260	260	487
→ 755	420	268	268	500
770	287	261	261	495
800	258	276	258	487
810	257	308	257	467
820	259	359	259	450
830	261	378	261	452
840	263	332	263	452
850	264	312	264	452
860	266	300	266	446
870	269	294	269	446
880	271	278	271	448
890	273	274	273	442
900	280	274	279	439
910	282	271	489	431
920	280	269	464	423
930	283	269	402	410
940	271	272	304	396
950	269	274	281	384
960	270	274	276	367
970	267	271	272	351
980	267	271	270	341
1000	266	269	268	316
1050	269	270	269	279
1100	268	269	268	271
→ 780	274	265	265	502
→ 790	270	272	264	504

002 00

# Calibration (relative) of Monochromator input stimulation to the AMIE flat field

22/2/02



$\lambda$	UDT 260 Si	$\lambda$	P	f=25 lens Akronat
400	769 $\mu$ W	860	53.2 mW	
450	3.2 mW	870	54.5	
500	10.0 mW	880	56.0	
550	18.8 mW	890	57.5	
600	32.7 mW	900	58.9	
650	24.4 mW	910	60.4	
700	47.5 mW	920	61.8	
720	51.3 mW	930	62.4	Bkgd 784 $\mu$ W / 750
730	52.5 mW	940	63.2	
740	53.3 mW	950	64.3	
750	53.7 mW	960	65.5	
760	53.6 mW	970	65.0	
770	53.5 $\mu$	980	66.5	
780	53.1 $\mu$	990	68.4	
790	52.4 $\mu$	1050	65.1	
800	51.7 $\mu$	1100	71.8	
810	51.1 $\mu$			
820	50.8 $\mu$			
830	50.8 $\mu$			
840	51.2 $\mu$			
850	52.1 $\mu$			

X

Signature

Date